

# Konzepte für Experimente an zukünftigen Hadroncollidern II

PD Dr. Oliver Kortner

15.05.2020

## Verarbeitung analoger Detektorsignale

- Die analogen Signale, die unmittelbar aus Teilchendetektoren kommen, sind im Allgemeinen sehr klein.

Beispiel: MDT-Driftrohr mit Ar/CO<sub>2</sub> (93:7) bei 3 bar.

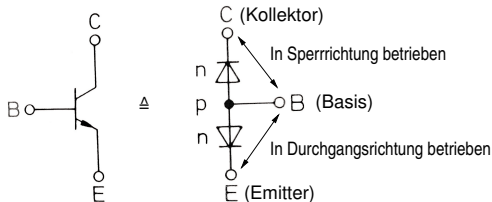
$$\frac{dE}{dx} = 7.5 \text{ keV/cm} \hat{\approx} 7.5/0.03 = 250 \text{ Elektron-Ion-Paare/cm.}$$

Bei einer Gasverstärkung von 20000 entspricht dies einer Gesamtladung von nur  $\sim 1$  pC.

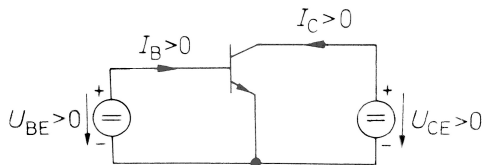
- ⇒ Schutz der kleinen Signale durch einen Faradaykäfig.
- ⇒ Verstärkung der Signale.
- ⇒ Leitung der unverstärkten Signale über möglichst kurze Strecken.

## Bipolartransistor als Beispiel für einen Signalverstärker

Ein Bipolartransistor ist ein npn- oder ein pnp-Übergang mit 3 Anschlüssen.



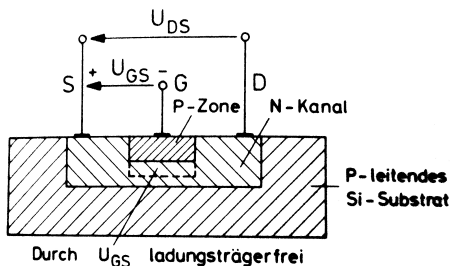
## Polung eines npn-Transistors



Wenn man  $U_{BE}$  erhöht, verringert man die Spannung zwischen Basis und Kollektor, wodurch die Diode BC leitender wird und somit mehr Strom aus dem Emitter fließt, als in die Basis geflossen ist.

## Alternative zum Bipolartransistor: Feldeffekttransistor

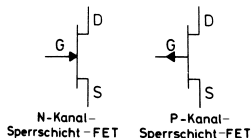
### Aufbau eines n-Kanal-Sperrschicht-Feldeffekttransistors



S: Source.

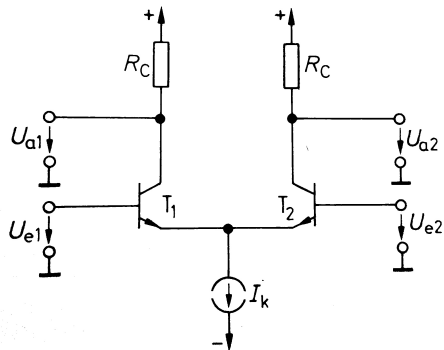
G: Gate.

D: Drain.



- Steuerung der Größe der ladungsträgerfreien Zone über den Wert der Spannung  $U_{GS}$ .
- Dicke der ladungsträgerfreien Zone bestimmt den Widerstand zwischen Drain und Source.
- Vorteil von Feldeffekttransistoren gegenüber Bipolartransistoren: Geringere Leistungsaufnahme, da die Ansteuerung über das angelegte elektrische Feld und nicht über einen Strom erfolgt.

## Funktionsweise eines Differenzverstärkers



- Konstantstromquelle am Emitter.  $\Rightarrow dI_k = 0$ .
- Innenwiderstand der Konstantstromquelle:  $r_k$ .

- $I_k = I_{C1} + I_{C2} \Rightarrow dI_{C1} = -dI_{C2}$ .
- Also ist  $dU_{a1} = -dU_{a2}$ .
- Es ist auch  $dU_{e1} = dU_{BE1} = -dU_{BE2} = -dU_{e2}$ .
- $U_D := U_{e1} - U_{e2}$ .  
 $dU_{e1} = d(U_{e1} - U_{e2} + U_{e2})$   
 $= dU_D + dU_{e2} = dU_D - dU_{e1}$ ,  
also  $dU_D = \frac{1}{2}dU_{e1}$ .

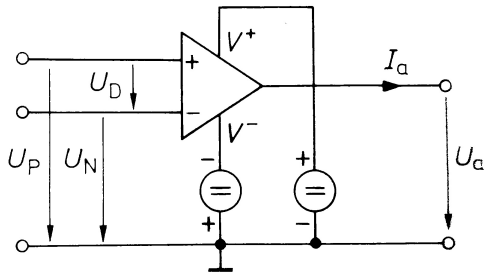
$\Rightarrow$  Differenzverstärkung  $A_D = \frac{dU_{a1}}{dU_D}$

$$A_D = \frac{dU_{a1}}{2dU_{BE1}} = -\frac{1}{2}S(R_C || r_{CE}).$$

Da  $S$  groß ist, ist auch  $A_D$  groß.

# Operationsverstärker

- Operationsverstärker sind breitbandige Differenzverstärker mit hoher Verstärkung und hohem Eingangswiderstand.
- Operationsverstärker sind als integrierte Schaltungen aus Bipolar- und Feldeffekttransistoren erhältlich.

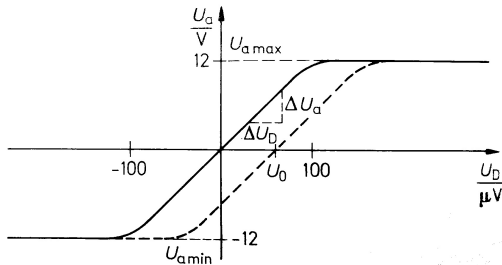


- Offene Verstärkung:

$$A_D := \frac{dU_a}{dU_D}$$

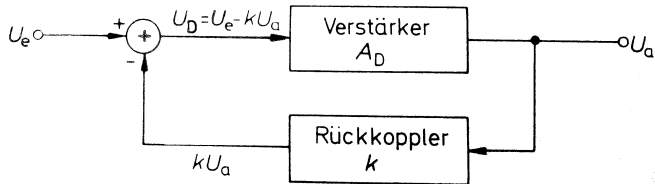
- Eingangsstufe als Differenzverstärker ausgeführt, daher zwei Eingänge (+ und -).
- Positive und negative Versorgungsspannung nötig, um die Ein- und Ausgänge positiv und negativ aussteuern zu können.

# Kennlinie eines Operationsverstärkers



- Offsetspannung  $U_0$  bei den meisten Operationsverstärkern abgleichbar.
- Lineare Abhängigkeit von  $U_a$  von  $U_D$  in einem kleinen Bereich von  $U_D$  um  $U_0$ .
- Konstante Ausgangsspannung außerhalb dieses Bereichs (Übersteuerung des Verstärkers).

# Prinzip der Gegenkopplung



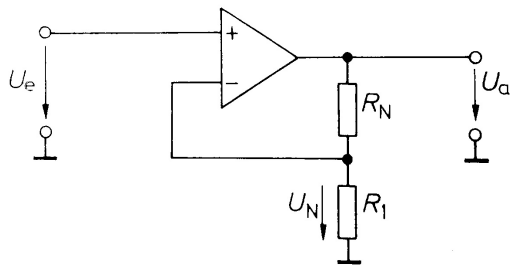
- $U_a = A_D(U_e - kU_a) \Leftrightarrow U_a = \frac{A_D}{1+kA_D} U_e \underset{A_D \rightarrow \infty}{\approx} \frac{1}{k} U_e.$
- $U_P = U_e, U_N = kU_a, |U_a| < \text{const.}$  Also ist

$$|U_P - U_N| = \frac{U_a}{A_D} \underset{A_D \rightarrow \infty}{\rightarrow} 0,$$

d.h.  $U_P = U_N$ .

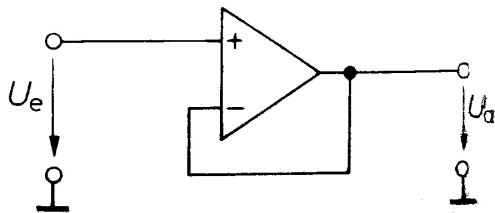


# Nichtinvertierender Verstärker

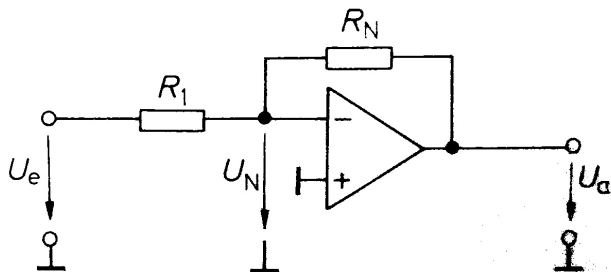


$$U_e = U_P = U_N = \frac{R_1}{R_1 + R_N} U_a$$
$$\Leftrightarrow U_a = \left(1 + \frac{R_N}{R_1}\right) U_e.$$

- Verstärkung positiv.
- Wert der Verstärkung durch die Wahl von  $R_N$  und  $R_1$  vollständig festgelegt.



- $U_a = U_e$ .
- Kleiner Ausgangswiderstand, d.h. Verhalten wie eine Spannungsquelle.
- Verwendung dieser Schaltung als Impedanzwandler.

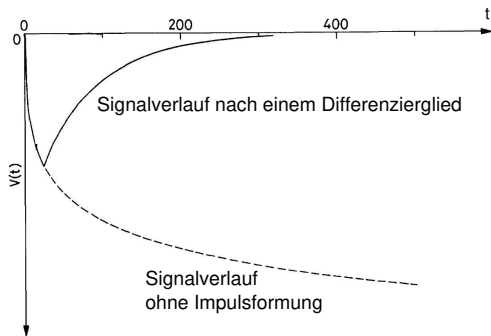


$$U_P = U_N = 0.$$

$$\Rightarrow \underline{U_a} = R_N \cdot I_N = R_N(-I_1) = -R_N \frac{U_e}{R_1} = \underline{\underline{-\frac{R_N}{R_1} U_e.}}$$

- Verstärkung negativ.
- Wert der Verstärkung durch die Wahl von  $R_N$  und  $R_1$  vollständig festgelegt.

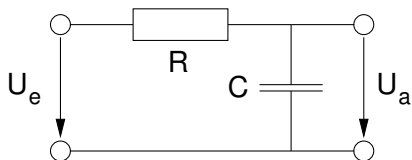
## Einführendes Beispiel: Signalimpuls eines zylindrischen Driftrohres



### Impulsformung mit einem Differenzierglied

- erhält die Information der Signalanfangszeit,
- verkürzt die Totzeit des Rohres gegenüber dem Fall ohne Impulsformung erheblich.

## Tiefpass

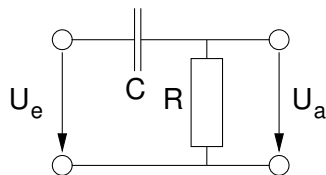


$$\begin{aligned}U_a &= \frac{\frac{1}{i\omega C}}{R + \frac{1}{i\omega C}} U_e \\ &= \frac{1}{1 + i\omega RC} U_e.\end{aligned}$$

$$\omega \rightarrow 0: U_a \rightarrow U_e.$$

$$\omega \rightarrow \infty: U_a \rightarrow 0.$$

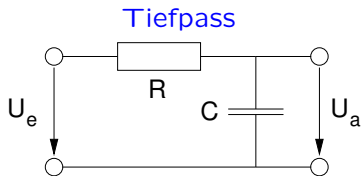
## Hochpass



$$\begin{aligned}U_a &= \frac{R}{R + \frac{1}{i\omega C}} U_e \\ &= \frac{1}{1 + \frac{1}{i\omega RC}} U_e.\end{aligned}$$

$$\omega \rightarrow 0: U_a \rightarrow 0.$$

$$\omega \rightarrow \infty: U_a \rightarrow U_e.$$



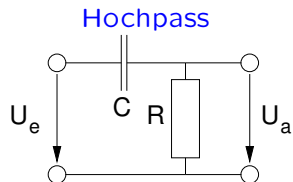
$$U_a = \frac{1}{1 + i\omega RC} U_e.$$

## 3dB-Grenzfrequenz

$$\frac{1}{|1 + i\omega RC|^2} = \frac{1}{2} \Leftrightarrow \omega = \frac{1}{RC}.$$

$\omega \gg \frac{1}{RC}$ :  $U_a \approx \frac{1}{i\omega RC} U_e = \frac{\hat{U}_e(\omega)}{i\omega RC} e^{i\omega t}$ ,  
 also  $U_a \approx \frac{1}{RC} \int U_e dt$ .

Oberhalb der Grenzfrequenz integrierend.



$$U_a = \frac{1}{1 + \frac{1}{i\omega RC}} U_e.$$

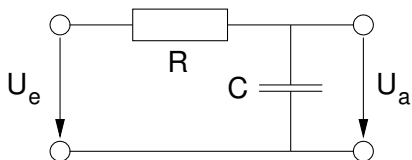
## 3dB-Grenzfrequenz

$$\frac{1}{|1 + \frac{1}{i\omega RC}|^2} = \frac{1}{2} \Leftrightarrow \omega = \frac{1}{RC}$$

$\omega \ll \frac{1}{RC}$ :

$U_a \approx i\omega RC U_e = i\omega RC \hat{U}_e e^{i\omega t}$ , also  
 $U_a \approx RC \frac{dU_e}{dt}$ .

Oberhalb der Grenzfrequenz differenzierend.



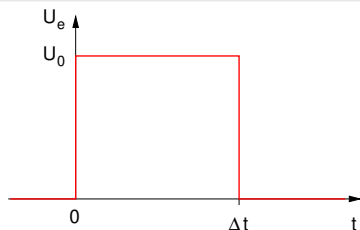
1. Möglichkeit: Verwendung komplexer Impedanzen und einer Fouriertransformation vom Frequenz- in den Zeitraum.

2. Möglichkeit: Lösung der folgenden Differentialgleichung.

$$U_a = \frac{Q}{C} \Rightarrow \frac{dU_a}{dt} = \frac{1}{C}I.$$

$$U_e = U_R + U_a = R \cdot I + U_a = RC \frac{dU_a}{dt} + U_a.$$

# Tiefpass: Verhalten bei einem Rechtecksimpuls



$$U_e(t) = \begin{cases} U_0 & (t \in [0, \Delta t]), \\ 0 & \text{sonst.} \end{cases}$$

$$t \leq 0: 0 = RC \frac{dU_a}{dt} + U_a, \text{ also } U_a = 0.$$

$$t \in (0, \Delta t): U_0 = RC \frac{dU_a}{dt} + U_a$$

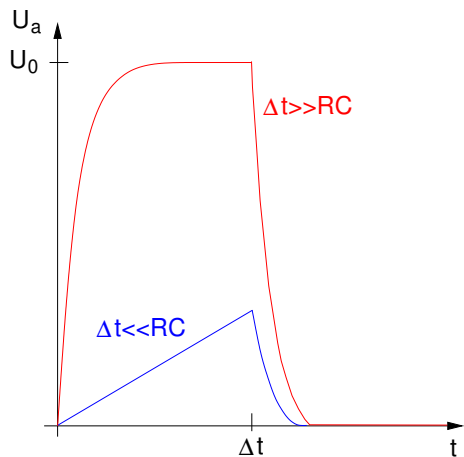
$$\Leftrightarrow U_0 - U_a = RC \frac{dU_a}{dt} \Leftrightarrow \int_0^t \frac{1}{RC} dt' = \int_0^{U_a(t)} \frac{dU_a}{U_0 - U_a}$$

$$\Leftrightarrow -\frac{t}{RC} = \ln \frac{U_0 - U_a(t)}{U_0} \Leftrightarrow e^{-\frac{1}{RC}t} = \frac{U_0 - U_a(t)}{U_0}$$

$$\Leftrightarrow U_a(t) = U_0(1 - e^{-\frac{1}{RC}t}).$$

$$t \geq \Delta t: \frac{dU_a}{dt} = -\frac{1}{RC} U_a, \text{ also } U_a(t) = U_a(\Delta t)e^{-\frac{1}{RC}(t-\Delta t)}.$$

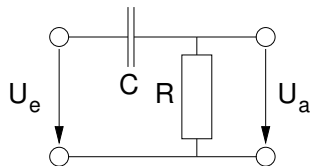




$$\Delta t \gg RC: U_a(t \rightarrow \Delta t - 0) \approx U_0.$$

$$\Delta t \ll RC: U_a(t) \approx U_0 \frac{t}{RC} \text{ für } t \in (0, \Delta t).$$

# Verhalten eines Hochpasses



$$U_a = R \cdot I = RC \frac{d(U_e - U_a)}{dt} = RC \frac{dU_e}{dt} - RC \frac{dU_a}{dt}.$$

Wähle  $U_e$  wie zuvor als Rechtecksimpuls.

$$t \leq 0: U_a(t) = 0.$$

$$t \in (0, \Delta t): U_a(t) = -RC \frac{dU_a}{dt}, \text{ also } U_a(t) = U_a(0)e^{-\frac{t}{RC}} = U_0 e^{-\frac{t}{RC}}.$$

$$\epsilon \rightarrow 0 + 0: t \in [\Delta t, \Delta t + \epsilon): U_e(t) = U_0 \left(1 - \frac{t - \Delta t}{\epsilon}\right), \text{ also } \frac{dU_e}{dt} = -\frac{U_0}{\epsilon}.$$

$$U_a + \frac{RC}{\epsilon} U_0 = -RC \frac{dU_a}{dt}$$

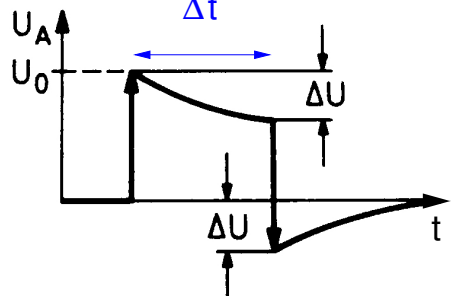
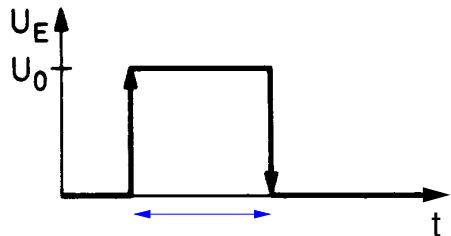
$$\Leftrightarrow \epsilon U_a + RC U_0 = -\epsilon RC \frac{dU_a}{dt}$$

$$\underset{\epsilon \rightarrow 0}{\Leftrightarrow} U_0 = -\epsilon \frac{dU_a}{dt}, \quad U_0 \epsilon = -\epsilon [U_a(\Delta t + \epsilon) - U_a(\Delta t)]$$

$$\Leftrightarrow U_a(\Delta t + \epsilon) = U_a(\Delta t) - U_0 = U_0 \left(e^{-\frac{\Delta t}{RC}} - 1\right)$$

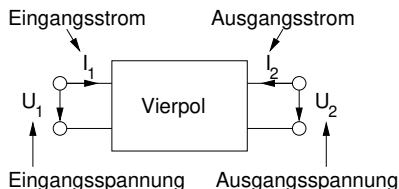
$$t \geq \Delta t: U_a(t) = U_0 \left(e^{-\frac{\Delta t}{RC}} - 1\right) e^{-\frac{t - \Delta t}{RC}}.$$

# Tiefpass: Verhalten bei einem Rechtecksimpuls



Bipolare Impulsformung mit einem Hochpass möglich.

# Vierpolgleichungen



Tiefpässe, Hochpässe und ähnliche Schaltungen mit insgesamt vier Anschlüssen nennt man **Vierpole**. Mit Hilfe sogenannter Vierpolgleichungen kann man das Verhalten von Schaltungen aus vielen Vierpolen sehr einfach berechnen.

Zwei der vier Größen sind frei wählbar, die andern beiden von diesen abhängig. Z.B.  $U_1 = U_1(I_1, I_2)$ ,  $U_2 = U_2(I_1, I_2)$ .

$$dU_1 = \left. \frac{\partial U_1}{\partial I_1} \right|_{I_2} dI_1 + \left. \frac{\partial U_1}{\partial I_2} \right|_{I_1} dI_2,$$
$$dU_2 = \left. \frac{\partial U_2}{\partial I_1} \right|_{I_2} dI_1 + \left. \frac{\partial U_2}{\partial I_2} \right|_{I_1} dI_2,$$

Wenn der Vierpol nur aus linearen, passiven Bauelementen besteht, gilt sogar  $\frac{\partial U_k}{\partial I_\ell} = \frac{U_k}{I_\ell}$ .

Für die Berechnung des Verhaltens einer Kette von Vierpolen bietet sich die **Kettenform** an, bei der die Eingangs- bzw. Ausgangsgrößen als Funktionen der Ausgangs- bzw. Eingangsgrößen ausgedrückt werden:

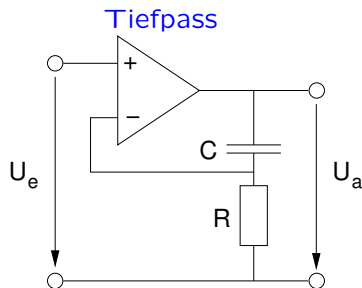
$$\begin{aligned}dU_1 &= \left. \frac{\partial U_1}{\partial U_2} \right|_{I_2} dU_2 + \left. \frac{\partial U_1}{\partial I_2} \right|_{U_2} dI_2, \\dI_1 &= \left. \frac{\partial I_1}{\partial U_2} \right|_{I_2} dU_2 + \left. \frac{\partial I_1}{\partial I_2} \right|_{U_2} dI_2.\end{aligned}$$

$$d \begin{pmatrix} U_1 \\ I_1 \end{pmatrix} = A \cdot d \begin{pmatrix} U_2 \\ I_2 \end{pmatrix}.$$

Um das Verhalten eines Vierpols zu erhalten, der aus einer Vierpolkette besteht, muss man nur die Produktion der Matrizen  $A_k$  der einzelnen Vierpole miteinander multiplizieren.

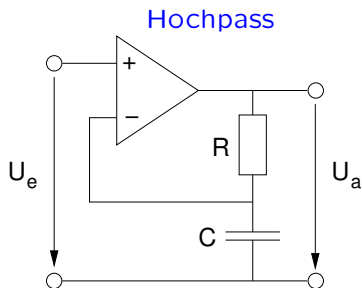
# Impulsformung mit Tief- und Hochpässen

Zur Impulsformung von Detektorsignalen schaltet man Tief- und Hochpässe unterschiedlicher Zeitkonstanten (RC) hintereinander. Zur Trennung der Pässe kann man einen Operationsverstärker mit kapazitiver Ein- und Auskopplung der Signale verwenden.



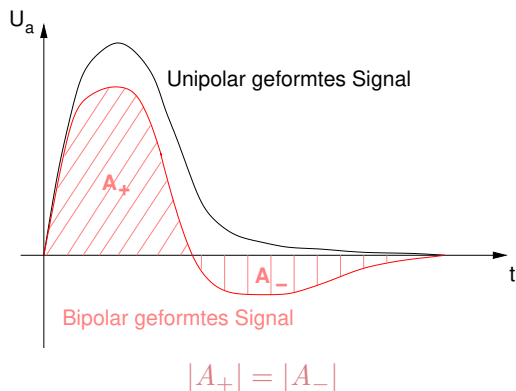
$$U_a = \left(1 + \frac{1}{i\omega RC}\right) U_e.$$

Verstärkung niedrige Frequenzen.



$$U_a = (1 + i\omega RC) U_e.$$

Verstärkung höherer Frequenzen.



**Nachteil unipolaren Signalformens:**

Wanderung des Impulsbodens aufgrund der Überlagerung aufeinanderfolgender Impulse bei hohen Signalraten.

**Abhilfer für dieses Problem:**

Verwendung bipolarer Impulsformung, wodurch der Impulsboden im Mittel nicht wandert.